



خواص فیزیکوشیمیایی و عملکردی پلی ساکاریدهای صمغ-رزین مقل

سعیده روستایی^۱، هاجر شکرچی زاده^{*}*، میلاد فتحی^۲

۱- کارشناسی ارشد، گروه علوم و مهندسی صنایع غذایی، دانشکده کشاورزی، دانشگاه صنعتی اصفهان، اصفهان

۲- دانشیار گروه علوم و مهندسی صنایع غذایی، دانشکده کشاورزی، دانشگاه صنعتی اصفهان، اصفهان

چکیده

اطلاعات مقاله

مقل یک اولوئو صمغ رزینی است که در اثر خراش پوست گیاه Commiphora wightii ترشح می شود. هدف از این تحقیق بررسی خصوصیات فیزیکوшیمیایی و عملکردی صمغ گیاه مقل می باشد. خصوصیات عملکردی و فیزیکوشیمیایی صمغ مقل مثل میزان پروتئین، کربوهیدراتات کل، رنگ، ویسکوزیته محلول، پتانسیل زتا، حلالیت، ظرفیت جذب آب، ظرفیت جذب روغن، خصوصیت کف کنندگی و امولسیون کنندگی صمغ بررسی شد. ساختار شیمیایی صمغ به روش های طیف سنجی مادون قرمز، کروماتوگرافی مایع با کارابی بالا و رزونانس مغناطیسی هسته ای تک بعدی آنالیز گردید. میزان پروتئین صمغ ۸/۱۵ درصد و میزان کربوهیدراتات آن ۶۱/۰۹ درصد بدست آمد. بررسی ویسکوزیته محلول صمغ مقل، رفتار رقیق شونده با برش را نشان داد. صمغ استخراج شده دارای پتانسیل زتا ۲۶-۲۶ میلی ولت بود. حلالیت صمغ در سه دمای ۳۰، ۶۰ و ۹۰ درجه سلسیوس بررسی شد. ظرفیت جذب آب نیز حدود ۳/۷۸ گرم آب در یک گرم صمغ محاسبه گردید. قابلیت تشکیل کف صمغ ۸۷/۰۳ درصد و پایداری کف آن ۶۵/۸۳ درصد اندازه گیری شد. میزان جذب روغن محاسبه شده برای صمغ مقل ۲/۳۳ گرم روغن در یک گرم صمغ بود. پس از بررسی ویژگی های امولسیونی صمغ مقل مشاهده شد که این صمغ توانایی امولسیون کنندگی خوبی در غلظت های ۰/۵، ۱، ۱/۵ و ۳ درصد دارد و همچنین از پایداری حرارتی و انجمادی تا حدود بالایی برخوردار است. آنالیزهای انجام شده بر روی خصوصیات ساختاری صمغ مقل وجود واحدهای قدری مانند آرایینوز، رامنوز، فروکتوز، گلوکورونیک اسید و گالاکتورونیک اسید را نشان داد. وجود گروه هیدروکسیل در طیف FTIR موید حضور گلوکورونیک اسید، گالاکتورونیک اسید، اسیدهای کربوکسیلیک، الكل قندها و گروه های گلایکوزیدی در پروفایل ترکیبات موجود در نمونه بود. ارزیابی پروفایل مونوساکاریدی با HPLC در نمونه صمغ بیانگر وجود گلوکز به عنوان یک هگزوز با حداقل مقدار بود و پس از آن نیز مانوز و رامنوز قرار داشتند.

تاریخ های مقاله :

تاریخ دریافت: ۱۴۰۳/۵/۵

تاریخ پذیرش: ۱۴۰۳/۱۲/۲۲

کلمات کلیدی:

امولسیون،

توانایی تشکیل کف،

حلالیت،

خواص عملکردی

DOI: 10.22034/FSCT.22.163.31.

* مسئول مکاتبات:

shekarchizadeh@iut.ac.ir

۱- مقدمه

بررسد. این گیاه به دلیل تولید صمغ-رزین دارویی مهم خود به عنوان منبع گاگول استرون بسیار ارزشمند است. این صمغ-رزین چرب و غلیظ بوده و به تنها یی یا با اثر بخشیدن بر عملکرد سایر گیاهان دارویی برای درمان برخی از بیماری‌ها به کار می‌رود [۳].

در شرایط آب و هوایی خشک شاخه‌ها در طول زمستان برای ترشح و سپس استخراج اولئوسمغ-رزین بریده می‌شوند. مقل یک اولئو صمغ-رزینی است که در اثر خراش پوست گیاه در بخش‌های ساقه و شاخه‌های درخت به وسیله‌ی چاقو ترشح می‌شود. صمغ زرد رنگی از مجاری ایجاد شده خارج شده که اجازه داده می‌شود تا قبل از جمع آوری خشک و سفت گردد. از یک درختچه حدود ۲۵۰ تا ۵۰۰ گرم صمغ خشک در هر فصل جمع آوری می‌گردد. مقل به صورت تکه‌های زرد رنگ تا قهوه‌ای با بوی معطر تلخ و طعم گس است که تازه آن زرد و چسبناک است. بازده صمغ مقل به عوامل زیادی از جمله سن درختان در همان مناطق، تعداد درخت و شرایط آب و هوایی منطقه بستگی دارد [۴].

مقل اولین بار توسط محقق و پژوهشکار هندی به نام جی وی ساتیاواتی در سال ۱۹۶۶ به دنیای علمی معرفی شد. در اواسط دهه ۱۹۹۰، مقل به عنوان یک داروی کاهش دهنده چربی خون وارد دنیای غرب شد. این ماده به کاهش سطح کلسترول از طریق کاهش LDL و افزایش HDL کمک می‌کند و در نهایت منجر به تشکیل یک نسبت بسیار مناسب از LDL به HDL می‌شود و به همین علت از نظر دارویی یک گیاه بسیار ارزشمند است. مقل توانایی تحریک فعالیت غده تیروئید و افزایش سوخت و ساز بدن را نیز به همراه دارد. مقل تراویش شده مخلوط پیچیده‌ای از استروئیدها، دی ترپنئیدها، استرهای آلیفاتیک، کربوهیدرات‌ها و انواع مختلف یون‌های معدنی می‌باشد. اما ترکیبات فعال اصلی این صمغ، مقل استرون و مقل استرون می‌باشند. بررسی ویژگی‌های این صمغ فرصت‌های بیشتری را برای استفاده‌ی بیشتر و بهتر از این گیاه با ارزش فراهم می-

در ایران منابع هیدروکلوبیدی زیادی وجود دارد که سال‌ها به صورت سنتی مورد استفاده قرار گرفته‌اند. دانه شاهی، ریحان، بالنگو شیرازی و دانه مرو از جمله دانه‌های بومی کشورمان هستند که علاوه بر خواص درمانی دارای مقادیر بالای صمغ نیز هستند. ارزان‌ترین هیدروکلوبیدها صمغ‌های ترشحی گیاهی هستند، زیرا نیاز به فرآوری کمتری دارند [۱]. اینمن و سالم بودن صمغ‌های گیاهی، ارزش غذایی و دارویی این صمغ‌ها و سهولت در تولید موجب تشویق به شناسایی بیشتر این هیدروکلوبیدها می‌شود. بخشی زیادی از صمغ‌های مصرفی در صنعت غذا به صورت وارداتی می‌باشد که هزینه‌ی زیادی بر تولید کنندگان تحمیل می‌نماید. بنابراین می‌توان با بررسی و شناسایی خصوصیات هیدروکلوبیدهای جدید تا حدودی خروج ارز از کشور را کاهش داد. در ایران به علت منابع گیاهی فراوان، ترکیبات پلی ساکاریدی فراوانی یافت می‌شود که به دلیل عدم وجود اطلاعات کافی، ضرورت بررسی فرآیند استخراج، تعیین خصوصیات فیزیکوشیمیایی و عملکردی آن‌ها احساس می‌گردد [۲].

گیاه *Commiphora mukul* از راسته *Burseraceae* و از خانواده *Balsamodendron mukul* می‌باشد که صمغ مقل یا گاگول با نام علمی *Commiphora wightii* از آن قابل استخراج است. این صمغ دارای ارزش اقتصادی گسترده و طیف وسیعی از کاربردهای دارویی می‌باشد. گیاه آن بوته‌ای، دو پایه و با شاخه‌های بسیار منشعب و گره‌دار است که به صورت مارپیچ بالا رونده همراه با خارهای تیز رشد می‌کند، با واکس پوشیده شده و در بخش‌های جوان به صورت غده مانند در آمده‌اند. این گیاه چند ساله‌ی بسیار منشعب است که در مناطق خشک، نیمه خشک و صخره‌ای با بارندگی اندک رشد می‌کند. این گیاه کند رشد، با فاز خواب طولانی و طبیعت خزان دار است. بطور معمول ۱۰ سال طول می‌کشد تا گیاه به بلوغ

سلسیوس خشک گردید. پودر صمغ به دست آمده در ظرف درب بسته و درون یخچال نگهداری گردید.

۲-۳-۱- اندازه گیری خواص فیزیکی صمغ مقل رنگ

جهت تعیین رنگ صمغ پودری از دستگاه رنگ سنج (ZE6000 Nippon) مدل DENSOKU استفاده شد و فاکتور های L^* , a^* , b^* قرائت شد [۷].

۲-۳-۲- اندازه گیری ویسکوزیته

برای اندازه گیری ویسکوزیته از اسپیندل شماره ۱۸ ویسکومتر بروکفیلد استفاده شد. ویسکوزیته محلول های صمغ در دو غلظت ۵ و ۱۰ درصد مورد بررسی قرار گرفت [۸].

۲-۳-۳- اندازه گیری پتانسیل زتا

برای اندازه گیری میزان پتانسیل زتا صمغ مقل، ابتدا دیسپرسیون ۵ درصد صمغ در اتانول ۹۶ درصد تهیه و به مدت چند دقیقه در حمام اولتراسونیک قرار داده شد. سپس با استفاده از دستگاه اندازه گیری پتانسیل زتا (ZEN3600, Horiba, آلمان)، پتانسیل زتا صمغ در دمای ۲۵ درجه سلسیوس و ولتاژ ۳/۸ ولت اندازه گیری شد [۹].

۴-۱- اندازه گیری خواص شیمیایی صمغ مقل

۴-۲-۱- تعیین ترکیبات شیمیایی محتوای کل رطوبت صمغ مقل به روش آون گذاری، خاکستر به روش کوره گذاری، پروتئین به روش کلدار و چربی به روش سوکسله با استفاده از حلال پترولیوم اتر با استفاده از روش مصوب AOAC تعیین شد [۷].

۴-۲-۲- اندازه گیری میزان کربوهیدراتات کل

برای اندازه گیری میزان کربوهیدراتات کل از تست فنول - سولفوریک اسید استفاده شد. برای این منظور محلول ppm ۱۰۰ از نمونه تهیه شد. سپس محلول استاندارد گلوکز با غلظت های (ppm) ۲۵، ۵۰، ۷۵ و ۱۰۰ تهیه گردید. به یک

کند [۵]. وانی و همکاران (۲۰۱۶) بر روی فعالیت آنتی اکسیدانی و ضد باکتریایی صمغ مقل تحقیقاتی انجام داده اند و نشان دادند که این صمغ منع مناسب آنتی اکسیدان طبیعی بوده و فعالیت ضد باکتریایی خوبی را نیز از خود نشان داده است و قابلیت استفاده در صنایع داروسازی و صنایع غذایی را دارد [۶].

صمغ مقل صمغی بومی است که با وجود خواص دارویی بسیار زیاد خود هنوز تحقیقات علمی در مورد شناسایی ویژگی های ساختاری، خواص فیزیکو شیمیایی و عملکردی آن صورت نگرفته است. هدف از این تحقیق استخراج و بررسی ساختار شیمیایی، ویژگی های فیزیکی و عملکردی صمغ مقل است.

۲- مواد و روش ها

۲-۱- مواد مورد استفاده

صمغ-رزین مقل از یکی از عطاری های اصفهان تهیه شد. اتانول ۹۶٪ از شرکت نصر خریداری شد. سولفوریک اسید غلیظ (٪۹۸)، پترولیوم اتر، فنول، ۲ دی فنیل پیکریل هیدرازین (DPPH)، نیتریک اسید، گلوکز و هیدروکلریدریک اسید از شرکت مرک تهیه شد.

۲-۲- استخراج صمغ مقل

ابتدا صمغ-رزین مقل خریداری شده آسیاب و با اتانول به نسبت ۳۰ برابر وزن آن مخلوط شد. سپس با استفاده از سوکسله به مدت ۶ ساعت در دمای ۷۰ درجه سلسیوس رفلکس شد تا رزین و سایر ناخالصی های محلول در الكل حذف شوند. پس از آن نمونه با استفاده از پارچه نازک صاف و به منظور حذف الكل در دمای محیط خشک شد. در مرحله استخراج آبی، ۱۰ برابر وزن پودر خشک شده آب اضافه و به مدت ۵ ساعت در دمای ۳۰ درجه سلسیوس حرارت داده شد. پس از آن با استفاده از فیلتر پارچه ای ترکیبات نامحلول در آب جدا و سپس محلول از کاغذ صافی عبور داده شد و در نهایت در آون با دمای ۱۰۵ درجه

طیف سنجی نشر اتمی (ICP) (مدل Optima 7300DV) ساخت شرکت Perkin Elmer کشور آمریکا) تعیین شد [۱۲].

۵-۲- اندازه گیری خواص عملکردی صمغ مقل ۵-۱- اندازه گیری حلایت

برای اندازه گیری حلایت صمغ مقل، ابتدا ۹۰ میلی لیتر محلول ۱٪ وزنی - حجمی از صمغ آماده و به منظور هیدراته شدن کامل ذرات صمغ به مدت ۲۴ ساعت درون یخچال نگهداری شد. محلول حاصل به سه قسمت مساوی تقسیم و هریک از این قسمت‌ها به طور جداگانه به مدت ۳۰ دقیقه در حمام آب گرم با دماهای ۳۰، ۶۰ و ۹۰ درجه سلسیوس قرار گرفتند و به طور یکنواخت هم زده شدند. در مرحلهٔ بعد محلول‌ها در $g \times 10000$ به مدت ۲۰ دقیقه سانتریفوژ شدند. پس از آن کل محلول رویی از هر نمونه در ظروف شیشه‌ای توزین شده، ریخته شد و تا رسیدن به وزن ثابت در دمای ۱۰۵ درجه سلسیوس حرارت داده شد. با استفاده از رابطه ۲ حلایت صمغ در دماهای مورد نظر محاسبه شد [۱۳].

$$\text{رابطه ۲} \quad \frac{(\text{وزن نمونه اولیه}-\text{وزن محلول رویی خشک شده})}{\text{وزن اولیه}} * 100 = \text{حلایت} (\%)$$

۵-۲- اندازه گیری ظرفیت جذب آب

به منظور اندازه گیری ظرفیت جذب آب صمغ مقل، ۰/۵ گرم از پودر نمونه همراه با ۱۰ میلی لیتر آب مقطر درون فالکون از قبل توزین شده ریخته و مخلوط گردید. پس از ۱۵ دقیقه جهت هیدراته شدن، در مرحلهٔ بعد در $g \times 896$ به مدت ۱۰ دقیقه سانتریفوژ شد. در نهایت مایع شفاف بالایی دور ریخته و رسوب حاصل توزین شد. ظرفیت جذب آب نمونه صمغ از رابطه ۳ بدست آمد [۱۴].

$$\text{رابطه ۳} \quad \frac{\text{وزن اولیه نمونه}-\text{وزن ژل متورم}}{\text{وزن اولیه نمونه}} = \text{ظرفیت جذب آب (g/g)}$$

میلی لیتر از محلول نمونه آماده شده ابتدا ۵ میلی لیتر سولفوریک اسید غلیظ وسپس یک میلی لیتر فنول ۵ درصد اضافه و سپس ۳۰ دقیقه در دمای اتاق نگهداری شد. میزان جذب نمونه و محلول‌های استاندارد در طول موج ۴۸۵ نانومتر ثبت شد. میزان کربوهیدرات کل با استفاده از منحنی استاندارد تعیین شد [۱۰].

۴-۲- بررسی فعالیت آنتی اکسیدانی

برای بررسی فعالیت آنتی اکسیدانی نمونه، ۰/۱ گرم صمغ پودر شده با ۵ میلی لیتر اتانول ۹۶ درصد مخلوط و به مدت ۳ ساعت در دمای ۲۵ درجه سلسیوس به شدت همزده شد. سپس در $g \times 3000$ به مدت ۲۰ دقیقه سانتریفوژ انجام گرفت و مایع رویی حاصل برای اندازه گیری فعالیت آنتی اکسیدانی جدا شد. برای اندازه گیری فعالیت آنتی اکسیدانی از روش DPPH استفاده شد. ۱۰۰ میکرولیتر از عصاره اتانولی نمونه به سرعت به یک میلی لیتر از محلول اتانولی ۰/۱ مولار DPPH اضافه و به شدت مخلوط شد. مخلوط حاصل به مدت ۳۰ دقیقه در دمای اتاق در مکان تاریک قرار گرفت و سپس جذب آن در طول موج ۵۱۷ نانومتر خوانده شد. همچنین جذب محلول اتانولی DPPH به عنوان شاهد در طول موج ۵۱۷ نانومتر خوانده شد و با استفاده از رابطه ۱ فعالیت آنتی اکسیدانی تعیین گردید [۱۱].

$$\text{رابطه ۱} \quad \frac{(\text{نمونه شاهد}-\text{جذب شاهد})}{\text{جذب شاهد}} * 100 = \text{فعالیت آنتی اکسیدانی} (\%)$$

۴-۳- تعیین عناصر معدنی

به منظور تعیین عناصر معدنی موجود در نمونه، ابتدا حدود ۳ گرم از پودر صمغ مقل در بوته چینی وزن شد و در کوره به مدت ۱۲ ساعت در دمای ۵۵۰ درجه سلسیوس قرار گرفت. سپس خاکستر به دست آمده از مرحله کوره گذاری در نیتریک اسید غلیظ حل و سپس به مدت ۳۰ دقیقه در حمام آب حرارت داده شد و پس از آن تا دمای ۲۵ درجه سلسیوس سرد و در نهایت فیلتر شد. میزان عناصر عصاره استخراج شده توسط دستگاه پلاسمای جفت شده القایی-

ینچال نگهداری شد. در ادامه ویژگی های امولسیون کنندگی محلول تهیه شده مورد بررسی قرار گرفت [۱۰].

برای تعیین فعالیت امولسیونی ۱۵ میلی لیتر از امولسیون تهیه شده درون فالکون درجه بندی شده ریخته شد. فالکون ها درون سانتریفوژ قرار گرفته و به مدت ۵ دقیقه در $g \times 1300$ سانتریفوژ شدند. در ادامه برای اندازه گیری فعالیت امولسیونی تمام حجم محلول و حجم فاز امولسیونی اندازه گیری شد و فعالیت امولسیونی طبق معادله ۷ محاسبه شد [۱۰].

$$\text{رابطه ۷} \quad \frac{\text{حجم فاز امولسیونی}}{\text{حجم محلول}} * 100 = (\%) \text{ فعالیت امولسیونی}$$

برای اندازه گیری پایداری امولسیون نسبت به تنفس دما، در ابتداء امولسیون تهیه شده به مدت ۳۰ دقیقه درون حمام آب گرم ۸۰ درجه سلسیوس قرار گرفت. بلا فاصله بعد از تیمار حرارتی امولسیون به مدت ۱۵ دقیقه درون حمام بخ قرار داده شد و در مرحله ی بعد امولسیون در $g \times 1300$ برای ۵ دقیقه سانتریفوژ شد. برای اندازه گیری پایداری امولسیون نسبت به تنفس دما از معادله ۸ استفاده شد [۱۰].

$$\text{رابطه ۸} \quad 100 * (\%) \text{ پایداری امولسیون نسبت به دما}$$

$$\frac{\text{حجم فاز امولسیونی باقیمانده}}{\text{حجم امولسیون اولیه}}$$

برای بررسی پایداری امولسیون در طول زمان، امولسیون های تهیه شده به مدت یک ماه درون ینچال نگهداری شدند و در بازه های زمانی معین پایداری امولسیون مورد بررسی قرار گرفت. برای اندازه گیری پایداری امولسیون طی زمان از رابطه ۹ استفاده شد [۱۰].

$$\text{رابطه ۹} \quad 100 * (\%) \text{ پایداری امولسیون نسبت به زمان}$$

$$\frac{\text{حجم فاز امولسیونی باقیمانده}}{\text{حجم امولسیون اولیه}}$$

۶-۲- اندازه گیری خواص ساختاری صمغ مقل

۶-۲-۱- استفاده از طیف سنج مادون قرمز تبدیل فوریه (FTIR)

طیف سنجی مادون قرمز برای تعیین ساختار شیمیایی مواد مختلف و شناسایی گروه های عاملی کاربرد دارد. برای تهیه طیف مادون قرمز، پودر صمغ مقل همراه با پودر پتابسیم بر می دهند مخلوط و سپس فشرده شده تا به شکل یک قرص

۶-۵-۳- ظرفیت جذب روغن

مقدار ۰/۵ گرم صمغ مقل به همراه ۱۰ میلی لیتر روغن تصفیه شده آفتاگردان مخلوط و به مدت یک دقیقه همزده شد. سپس به مدت ۳۰ دقیقه در دمای اتاق نگهداری و پس از آن به مدت ۵ دقیقه در $g \times 896$ سانتریفوژ شد. پس از خارج کردن محلول رویی و توزین نمونه باقی مانده در انتهای فالکون با وزن معلوم با استفاده از رابطه ۴ ظرفیت جذب روغن محاسبه شد [۱۵].

$$\text{رابطه ۴} \quad \frac{\text{وزن اولیه نمونه} - \text{وزن ژل متور}}{\text{وزن اولیه نمونه}} = \text{ظرفیت جذب روغن (g/g)}$$

۶-۵-۲- قابلیت تشکیل کف و پایداری کف

برای ارزیابی قدرت کف کنندگی و پایداری کف در ابتداء محلول های ۱، ۲ و ۴ درصد صمغ مقل تهیه شدند. سپس توسط هموژنایزر به مدت دو دقیقه در $g \times 8064$ در دمای اتاق هموژن شدند. درنهایت هر یک از محلول ها به استوانه مدرج منتقل شده و حجم کف حاضر در سطح بالای مایع درون استوانه مدرج مشخص شد. درصد کف کنندگی با استفاده از رابطه ۵ و پایداری کف با رابطه ۶ محاسبه شد [۱۶].

$$\text{رابطه ۵} \quad \frac{\text{حجم کف}}{\text{حجم اولیه نمونه}} * 100 = \text{درصد کف کنندگی}$$

$$\text{رابطه ۶} \quad \frac{\text{حجم کف بعد از ۱۵ دقیقه}}{\text{حجم کف اولیه}} * 100 = \text{درصد پایداری کف}$$

۶-۵-۴- بررسی ویژگی های امولسیون کنندگی صمغ مقل

به منظور تهیه امولسیون، در ابتداء محلول صمغ مقل در غلاظت های مختلف (۱، ۰/۵، ۱/۵، ۲، ۳٪) تهیه شد. برای اینکه ذرات صمغ کاملا هیدراته شوند، محلول تهیه شده به مدت ۲۴ ساعت درون ینچال نگهداری شد. در ادامه امولسیون موردنظر با مخلوط کردن ۲۰٪ روغن آفتاگردان و ۸۰٪ محلول صمغ مقل تهیه شد. مخلوط فوق با استفاده از هموژنایزر به مدت ۵ دقیقه در $g \times 13500$ کاملا هموژن گردید. امولسیون تهیه شده به منظور پخش ماکرونولکول ها و پایداری سطح بین روغن و آب به مدت ۲۴ ساعت درون

دست آمد که $32 \pm 4/61$ درصد از صمغ-رزین اولیه را تشکیل می‌داد.

نازک درآمد و در مرحله‌ی آخر طیف آن در محدوده عدد موج $4000-400 \text{ cm}^{-1}$ بررسی گردید [۸].

۳-۲-۳- خواص فیزیکی صمغ مقل

۱- رنگ

با بررسی نتایج حاصل از ارزیابی رنگ پودر صمغ مقل استخراجی، شاخص روشنایی $(L^*) = 40.3 \pm 4.8/66$ ، شاخص قرمزی $(a^*) = 0.04 \pm 0.024$ و شاخص زردی $(b^*) = 0.07 \pm 0.035$ حاصل شد. شاخص روشنایی در مورد صمغ مقل کمتر از صمغ عربی $(84/68)$ بود یعنی اینکه میزان روشنی رنگ صمغ مقل کمتر بوده و نسبت به صمغ عربی رنگ تیره-تری داشت [۱۸]. شاخص a^* نمایان-گر میزان قرمزی و یا سبزی می‌باشد. صمغ مقل قرمز-تر از صمغ عربی $(3/39)$ بود [۱۸]. همچنین شاخص b^* زردی و یا آبی بودن را نشان می‌دهد. صمغ مقل زردتر از صمغ عربی $(11/62)$ بود [۱۸]. طی تحقیقات جوکی و همکاران (۲۰۱۴) که روی موسیلاژ دانه به صورت گرفت، بیان شد که شرایط متفاوت استخراج همچون نسبت آب به دانه، زمان و دمای استخراج بر رنگ نهایی پودر موسیلاژ اثر قابل توجهی دارد [۲].

۲- ویسکوزیته محلول صمغ مقل

خصوصیات رئولوژیکی هیدروکلوفیدها هنگام کاربرد در فرآورده‌های غذایی به منظور تغییر یا بهبود خصوصیات بافتی مواد غذایی اهمیت خاصی دارد. زیرا یکی از فاکتورهای اصلی در مدل سازی و طراحی فرآیند می‌باشد. ویسکوزیته محلول ۵ درصد صمغ مقل در 100 rpm $3/81 \text{ mp/s}$ به دست آمد. در غلظت 10 درصد در $100 \text{ , } 50 \text{ , } 20 \text{ , } 9/6 \text{ mp/s}$ و $36/93$ حاصل شد. افزایش ویسکوزیته محلول صمغ با افزایش غلظت صمغ به علت درگیری بیشتر پلیمرها با یکدیگر در غلظت بیشتر بوده که موجب تشکیل ساختار قوی‌تر برای حفظ آب و افزایش ویسکوزیته می‌شود. همچنین با افزایش سرعت برشی، تنش برشی افزایش و

۲-۶-۲- آنالیز قندهای موجود در صمغ مقل با استفاده از HPLC

جهت تعیین قندهای موجود در ساختار صمغ مقل، 0.3 گرم از صمغ با 3 میلی لیتر سولفوریک اسید 98 درصد مخلوط، به مدت 30 دقیقه در حمام آب 30 درجه سلسیوس گذاشته شد و پس از آن به مدت 2 ساعت در اتوکلاو قرار گرفت. سپس نمونه هیدرولیز شده فیلتر و در مرحله بعد خشی شد. نمونه هیدرولیز شده به میزان 25 میکرو لیتر به دستگاه HPLC مجهز به ستون *Aminex HPX-87H* مدل شرکت UV-Vis و *BIORAD* دقیقه تزریق شد و از آب به عنوان فاز متحرک استفاده گردید. در نهایت ترکیب قندها با مقایسه زمان خروج قندهای استاندارد از ستون به دست آمد [۱۰].

۲-۶-۳- طیف سنج رزونانس مغناطیس هسته‌ای

پودر صمغ مقل استخراج شده، قبل از آنالیز طیف سنجی رزونانس مغناطیس هسته به آرامی و به تدریج به دو تریم اکساید $99/5$ درصد اضافه شد تا کاملا حل شود. سپس طیف های H-NMR و C-NMR تک بعدی آن ثبت شد [۱۷].

۳- نتایج و بحث

۳-۱- استخراج صمغ مقل

همانطور که در قسمت مواد و روشها شرح داده شد، ابتدا استخراج الكلی انجام شد. در مرحله استخراج الكلی ترکیباتی مانند رزین‌ها، الیگوساکاریدها و بخشی از ترکیبات رنگی در اتانول حل و حذف می‌شوند. پس از استخراج الكلی از صمغ-رزین مقل اولیه، پودری حاصل شد که در الكل درصد صمغ-رزین مقل اولیه بود. مابقی ترکیبات که در الكل حل شده بودند و عمدتاً رزین‌ها هستند، با حذف اتانول به صورت جامد چسبنده‌ای باقی ماند که $17/52 \pm 0/66$ درصد صمغ-رزین مقل اولیه بود. پس از مرحله استخراج آبی بر روی پودر حاصل از مرحله استخراج الكلی، صمغ مقل به

۰/۲۰ ± ۱/۶۷ درصد، چربی ۳/۲۴ ± ۱۸/۵۰ درصد، خاکستر ۰/۲۰ ± ۱۸/۸۹ درصد، مقدار پروتئین ۴/۴۱ ± ۰/۰۶ و مقدار کربوهیدراتات کل ۱/۰۳ ± ۵۱/۰۴ درصد بدست آمد. مقدار رزین استخراجی طی مرحله الکلی ۱۷/۵۶ ± ۰/۶۶ درصد محاسبه شد. ترکیبات شیمیایی صمغ پس از استخراج الکلی و آبی نیز مورد آزمون قرار گرفت. میزان ماده خشک ۰/۴۶ ± ۰/۹۶ درصد، خاکستر ۰/۰۱ ± ۰/۰۱ درصد، چربی ۰/۲۳ ± ۰/۷۱ درصد، میزان پروتئین ۰/۰۱ ± ۰/۰۱ و میزان کربوهیدراتات کل ۰/۰۱ ± ۰/۰۳ درصد بدست آمد. به منظور مقایسه بهتر ترکیبات صمغ مقل با بعضی از صمغ‌های ترشحی، ترکیبات شیمیایی چند صمغ تراوoshi در جدول ۱ نشان داده شده است [۲۲]. مقدار رطوبت صمغ مقل از رطوبت دو صمغ عربی و فارسی کمتر بود که می‌تواند به علت مرحله‌ی خشک کردن پودر صمغ در آون و یا آبدوسنی کمتر آن باشد. اما صمغ-رزین اولیه مقل رطوبتی مشابه صمغ فارسی و صمغ عربی داشت. مقدار خاکستر صمغ مقل از مقدار خاکستر دو صمغ دیگر بیشتر بود. میزان خاکستر موجود در صمغ‌ها به شدت به شرایط محیط رشد مثل خاکی که گیاه در آن رشد می‌کند وابسته است. مقدار پروتئین از مقدار پروتئین صمغ فارسی بیشتر و نسبت به صمغ عربی درصد پروتئین صمغ مقل کمتر بود. مقدار چربی صمغ مقل در مقایسه با صمغ-رزین اولیه کمتر بود که نشان دهنده تاثیر مرحله استخراج الکلی است. مقدار ترکیبات شیمیایی هیدروکلریدها با توجه به عوامل مختلفی از جمله منبع تامین کننده صمغ، شرایط رشد متفاوت درختان و گیاهان و همچنین سن آن‌ها، روش‌های مختلف استخراج، زمان استخراج و خالص سازی متفاوت می‌باشد.

ویسکوزیته محلول کم گردید. صمغ در سرعت برشی پایین ویسکوزیته بالاتر و با افزایش سرعت برشی، کاهش ویسکوزیته داشت که نشان دهنده رفتار رقیق شونده با برش است. بر طبق پژوهش‌های سعیدی و همکاران (۲۰۱۸) بر روی خصوصیات فیزیکوشیمیایی صمغ آنگوزه، ویسکوزیته محلول‌های صمغ آنگوزه کم بوده و همچنین در دمای بالاتر از ۴۰ درجه سلسیوس رفتار رقیق شونده به ویژه در سرعت‌های برشی کم نشان داد و با افزایش سرعت برشی، رفتار صمغ آنگوزه بیشتر به نیوتونی نزدیک شد [۱۹].

۳-۲-۳- پتانسیل زتا

پتانسیل زتا نمایشگر پایداری و بار سیستم کلوئیدی است. در مواردی که پتانسیل زتا اجزای کلوئیدی افزایش یابد، نیروی دافعه الکترواستاتیک نیز افزایش یافته و سامانه کلوئیدی پایداری بیشتری خواهد داشت [۹]. به عبارت دقیق‌تر مزبین پایداری و ناپایداری کلوئید را می‌توان بر حسب این آزمون مشخص کرد یعنی ذراتی که پتانسیل زتا بالاتر از ۳۰ + میلی ولت و پائین‌تر از ۳۰ - میلی ولت داشته باشند پایدار خواهند بود [۲۰].

پتانسیل زتا صمغ مقل ۲/۳ ± ۰/۹۶ - ۰/۵ میلی ولت بدست آمد که نشان دهنده ساختار آنیونی سیستم کلوئیدی و پایداری نسبی خوب آن می‌باشد. منفی بودن پتانسیل زتا صمغ مقل می‌تواند ناشی از حضور ارونیک اسید در ساختار این صمغ باشد که در نتایج ساختار صمغ قابل مشاهده است. طبق گزارشات هارنسن و همکاران (۲۰۰۶) پتانسیل زتا محلول ۰/۱ درصد صمغ‌های عربی، کاراگینان و آژینات در ۴ pH به ترتیب ۴-۳۵/۴، ۰/۲-۴۹ و ۰/۱-۴۵ میلی ولت است [۲۱].

۳-۳- خواص شیمیایی صمغ مقل

۳-۳-۱- ترکیبات شیمیایی

ترکیبات شیمیایی صمغ-رزین مقل قبل از مرحله استخراج مورد بررسی قرار گرفت. میزان رطوبت این ترکیب ۰/۴۶

Table 1- Chemical composition of *Commiphora wightii* gum in comparison with two other exudate gums [22]

Chemical composition (%)	<i>Commiphora wightii</i> gum	Zedo gum	Arabic gum
Moisture	3.81±0.80	8.5-12.2	5-10
Ash	4.35±0.01	1.3-2.59	1.81-5
Protein	8.15±0.01	0.2-0.7	0.95-10
Fat	7.16±0.23	Trace	0-0.37
Total carbohydrate	61.10±2.10	87-89	65-89

سدیم صمغ مقل از دو صمغ فارسی و عربی بیشتر بود و مقدار کلسیم صمغ مقل نیز از مقدار کلسیم صمغ عربی بیشتر بود [۲۳]. میزان کلسیم موجود در صمغ‌ها، از جمله عواملی است که بسیاری از محققین آن را یک عامل موثر در تشکیل ژل می‌دانند [۲۴]. به گزارش اندرسون و وانگ (۱۹۹۱) ترکیب و غلظت مواد معدنی در گیاهان به طور عمده مربوط به خاکی است که گیاهان در آن رشد می‌کنند [۲۵].

۳-۳-۲-عناصر معدنی صمغ مقل
عناصر معدنی موجود در صمغ مقل در جدول ۲ نشان داده شده است. همچنین به منظور مقایسه بهتر عناصر تشکیل دهنده صمغ مقل، عناصر معدنی دو صمغ تراوشی دیگر در جدول ذکر شده است. صمغ مقل تقریباً شامل اکثر عناصر معدنی بود. نتایج بررسی‌ها نشان داد، کلسیم و سدیم بیشترین ماده معدنی موجود در صمغ مقل می‌باشند. عناصر گوگرد، پتاسیم و منیزیم بترتیب در رده‌های بعدی قرار دارند. مقدار

Table 2- Elements of *Commiphora wightii* gum in comparison with two other exudate gums [22]

Elements (%)	<i>Commiphora wightii</i> gum	Zedo gum	Arabic gum
Al	1.78	-	-
Ca	37.36	74.11	0.7
Fe	1.02	0.1	0.001
K	12.99	17.94	0.95
Mg	8.93	7.73	0.2
Na	25.18	0.1	0.01
S	10.56	-	-
Sr	0.20	-	-
Zn	0.97	0.02	-
Ti	0.12	-	-
Mn	0.41	-	-
Ba	0.04	-	-
Cu	0.04	-	-
B	0.37	-	-
Li	-	-	-

پدیده را می‌توان این گونه توجیه کرد که طی استخراج صمغ با استفاده از حللا اتانول و همچنین در دمای ۵۰ درجه سلسیوس، ترکیبات فنولی موجود در صمغ-رزین که فعالیت آنتی اکسیدانی ایجاد کرده اند، به علت حللا در اتانول حل و سپس حذف شده‌اند. طی چندین مطالعه پلی-ساکاریدهای خام استخراج شده فعالیت آنتی اکسیدانی قابل

۳-۳-۳- بررسی فعالیت آنتی اکسیدانی صمغ مقل
بررسی فعالیت آنتی اکسیدانی صمغ مقل به روش DPPH، هیچ فعالیت آنتی اکسیدانی برای صمغ مقل را نشان نداد. اما با بررسی فعالیت آنتی اکسیدانی صمغ-رزین پس از محاسبه به روش DPPH $36/36 \pm 7/42$ درصد محاسبه شد. این

با کاهش وزن ملکولی انحلال افزایش می‌یابد. جدا شدن ذرات با وزن ملکولی بالا و سپس نفوذ آب به داخل آنها در مقایسه با ذرات با وزن ملکولی کمتر، در زمان طولانی تری اتفاق می‌افتد. در نتیجه انحلال مواد با وزن مولکولی بالا دیرتر رخ می‌دهد. خصوصیات ساختاری (ساختار خطی، نوع پیوندهای گلیکوزیدی، وزن مولکولی بالا و سایر خصوصیات ساختاری منظم) که اتصالات بین مولکول‌های پلی‌ساکارید را افزایش می‌دهد، باعث کاهش حلالیت پلی‌ساکاریدها می‌گردد. پلی‌ساکاریدهای خطی با ساختار بسیار منظم که ساختار بلورین دارند، اغلب نامحلول یا کم محلول در آب هستند. اما ساختارهای شاخه‌ای دارای حلالیت بالاتری هستند. در پلیمرهایی که حلالیت کمی در آب دارند، اتصالات بین مولکول‌های پلیمر غالب است که منجر به توده‌ای شدن و در نهایت رسوب ساختار مولکول می‌گردد [۲۰].

توجهات را نشان می‌دهند، اما پس از مراحل خالص‌سازی، پلی‌ساکارید خالص نهایی فعالیت آنتی‌اکسیدانی کمی دارند. به عبارتی می‌توان گفت سایر ترکیبات موجود در پلی‌ساکارید خام مانند رنگیزه‌ها، فالون‌ها، پپتیدها، پروتئین‌ها و پلی‌فنول‌ها که فعالیت آنتی‌اکسیدانی دارند، در مرحله خالص‌سازی حذف گردیده‌اند [۲۰].

۴-۳- خواص عملکردی صمغ مقل

۱-۴-۳- حلالیت

حالیت صمغ مقل در سه دمای ۳۰، ۶۰ و ۹۰ درجه سلسیوس مورد بررسی قرار گرفت و نتایج حاصل در شکل ۱ گزارش شده است. به صورت کلی می‌توان بیان کرد حلالیت این صمغ در آب پایین بوده و با افزایش دما حلالیت افزایش پیدا کرد. حالیت کم این صمغ در آب به علت حضور عوامل هیدروفوب موجود در ساختار آن می‌باشد. دو فاکتور مهم و تعیین کننده حلالیت پلی‌ساکاریدها ساختار و وزن ملکولی آنها می‌باشد. در صمغ‌های مشابه، اغلب

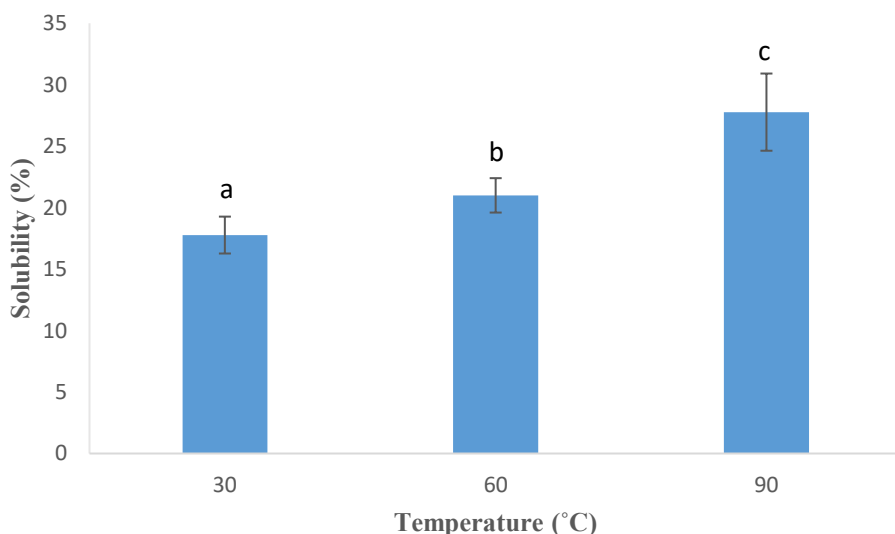


Fig. 1- *Commiphora wightii* gum solubility at different temperatures
Different letters show significant differences between samples ($p < 0.05$)

افزایش یافته است (۳). در ارتباط با صمغ زانتان، با افزایش دما از ۳۰ به ۶۰ درجه سلسیوس حلالیت افزایش یافته است. هر چند استفاده از حرارت جهت افزایش حلالیت باعث می‌شود که نتوان از هیدروکلرئیدها به طور گسترده در فرآوری‌های حساس به حرارت استفاده کرد [۹].

در مطالعاتی که توسط خالصی و همکاران (۱۳۹۱) انجام گرفته است، نشان دادند که حلالیت صمغ فارسی وابسته به تغییرات دما بوده و از ۵۸/۰ درصد در دمای ۳۰ درجه سلسیوس تا ۷۷/۵ درصد در دمای ۹۰ درجه سلسیوس

بود. صمغ-رزین مقل درصد چربی بالایی در ترکیب خود داشت که این نیز باعث افزایش گروههای هیدروفوبی و در نتیجه افزایش ظرفیت جذب روغن در این صمغ شد. این ویژگی موجب می‌گردد این صمغ برای استفاده در صنعت غذا و در فرمولهای حاوی روغن، اهمیت بیشتری پیدا کند. توانایی جذب روغن بالا از نظر تکنولوژیکی اهمیت بسیاری دارد. به طور مثال می‌توان برای پایداری بافت امولسیون‌های پر چرب از صمغ‌هایی با ظرفیت جذب روغن بالا استفاده کرد. همچنین به لحاظ فیزیولوژیکی قادرند با جذب چربی به خود به کاهش جذب چربی غذای خورده شده در بدن کمک کنند [۷]. بالا بودن ظرفیت جذب چربی در صمغ‌ها به دلیل وجود گروههای هیدروفوبی می‌باشد که این گروهها در سطح قرار گرفته و می‌توانند مولکولهای چربی را جذب سطحی کنند. ظرفیت جذب روغن صمغ بادام و صمغ عربی به ترتیب $0/۰۷$ و $۰/۹۲$ درصد گزارش شده است. این مقدار از ظرفیت جذب روغن صمغ مقل کمتر می‌باشد که می‌تواند به علت وجود گروههای هیدروفوب کمتر این دو صمغ نسبت به صمغ مقل باشد [۱۸].

۴-۳-۳-ظرفیت کف کنندگی و پایداری کف صمغ مقل
توانایی تولید کف و پایداری کف صمغ مقل در غلظت‌های ۱ ، ۲ و ۴ درصد در شکل ۲ نشان داده شده است. بیشترین میزان تولید کف و همچنین پایداری کف در غلظت ۴ درصد به ترتیب ۸۷% و ۶۵% بدست آمد. صمغ مقل توانایی تولید کف خوبی داشت که می‌تواند به علت وجود پروتئین در ساختار صمغ باشد. پروتئین‌ها عوامل بسیار موثر در تولید کف و پایداری آن هستند. میزان کف کنندگی صمغ مقل تقریباً مشابه صمغ ریشه‌ی سیریش بود [۱].

خاصیت کف کنندگی در صنعت غذا در ایجاد خصوصیات رئولوژیکی مطلوب در مواد غذایی نظیر بافت نان، کیک، خامه زده شده و بستنی نقش بسیار مهمی دارد. بنابراین پایداری کف به عنوان یک معیار مهم در کیفیت مواد غذایی بسیار حائز اهمیت می‌باشد. به طور کلی صمغ‌های پلی ساکاریدی به عنوان عوامل فعال سطحی شناخته نمی‌-

۴-۴-۳-ظرفیت جذب آب

قابلیت جذب آب توانایی یک ماده در واکنش با مقادیر کم آب را نشان می‌دهد. ظرفیت جذب آب صمغ مقل در دمای ۲۵ درجه سلسیوس بررسی شد و $۳/۷۸ \pm ۰/۷۸$ گرم آب در یک گرم صمغ بدست آمد. ظرفیت جذب آب پایین، می‌تواند به دلیل حضور پروتئین‌های موجود در ساختار پلی-ساکاریدی صمغ باشد که خصوصیت هیدروفوبیستی آن را افزایش می‌دهد. ظرفیت حفظ آب در صمغ‌ها به عوامل زیادی از جمله شرایط استخراج و خالص سازی بستگی دارد. این عوامل بر روی سطح تماس بین هیدروکلرید و آب تاثیر گذار هستند. ظرفیت جذب آب همچنین به پارامترهایی مانند شدت واکنش بین پروتئین، پلی ساکارید و مولکول‌های آب و موقعیت‌های آب دوست، شرایط محیطی و شکل فضایی پروتئین وابسته می‌باشد [۲۴].

ظرفیت جذب آب یکی از عوامل مهم در رابطه با کاربرد گسترده صنعتی صمغ‌های تراویشی محسوب می‌شود که موجب تولید ژل یا محلول‌های باگرانزوی بالا می‌شود. بر طبق نتایج حاصل از مطالعات خالصی و همکاران (۱۳۹۱) توانایی جذب آب برای صمغ زدو $۱۰/۲ \text{ g/g}$ بدست آمد که میان قابلیت جذب آب تا حدودی خوب این صمغ و عدم تغییرات آن با دما می‌باشد [۲۶].

۴-۴-۳-ظرفیت جذب روغن

ظرفیت جذب روغن برای صمغ مقل $۲/۳۳ \pm ۰/۲۲$ گرم روغن در یک گرم صمغ بدست آمد. جذب روغن توسط پلی ساکاریدها به صورت فیزیکی و شیمیایی انجام می‌گیرد. جذب فیزیکی به دلیل برهمکنش فیزیکی روغن بر روی سطح ذرات پودر صمغ است و جذب شیمیایی ناشی از برهمکنش‌های شیمیایی بین روغن و کربوهیدرات، پروتئین و چربی در ساختار صمغ (عمدتاً ناشی از پیوندهای هیدروفوبی و واندروالسی) می‌باشد. مقدار و نوع ساختار هیدروفوبی موجود در پلی ساکارید میزان جذب روغن را مشخص می‌کند [۱۸]. میزان جذب روغن در این صمغ بالا

فارسی در غلظت‌های ۱ تا ۵٪ توسط امینی (۱۳۹۵) بررسی شد که در غلظت‌های کمتر از ۳٪ هیچ گونه تشکیل کفی در محلول مشاهده نشد. همچنین در غلظت‌های ۴ و ۵ درصد نیز به مقدار ناچیز کف تولید شد که این مقدار نیز به سرعت از بین رفت و قابل اندازه گیری نبود. این محقق گزارش نمود، ناچیز بودن مقدار پروتئین موجود در صمغ فارسی علت اصلی عدم تولید کف برای صمغ می‌باشد [۲۸].

شوند. اما نتایج مطالعات نشان می‌دهد که می‌توان از صمغ‌ها برای افزایش تولید کف در فرآورده‌های غذایی استفاده کرد. صمغ‌ها تأثیر مشتی بر خواص تولید کف در مواد غذایی دارند که به علت تمایل حضور آنها در لایه بین سطح، کاهش فعالیت سطحی به علت حضور مولکول‌های صمغ و افزایش ویسکوزیته می‌باشد. طبق گزارشات حسن پور (۲۰۱۸) ظرفیت کف‌کنندگی محلول ۱ درصد صمغ برگ پنیرک ۲۸٪ تعیین شده است [۲۷]. توانایی تولید کف محلول صمغ

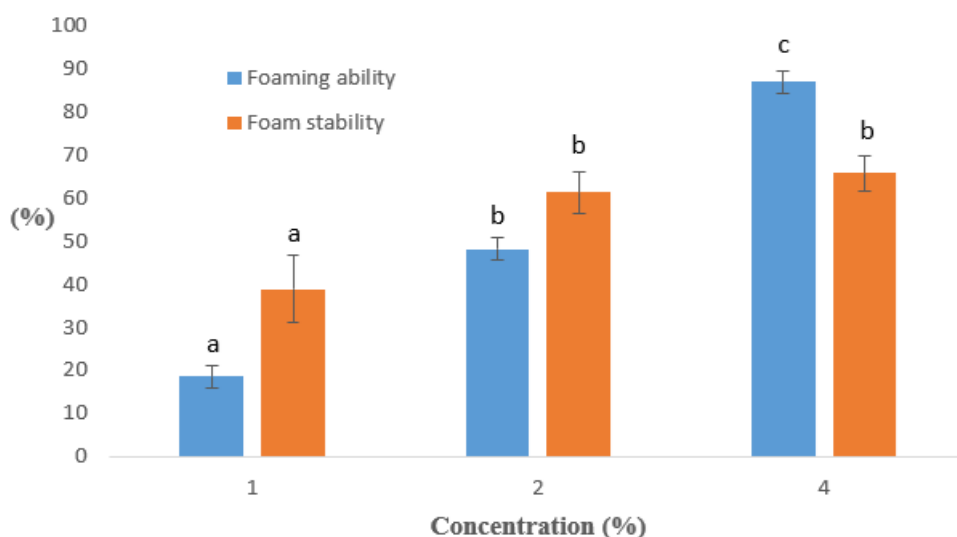


Fig. 2- Foaming properties of *Commiphora wightii* gum
Different letters show significant differences between samples in each test ($p < 0.05$)

طی تحقیقات دیکینسون و همکاران (۲۰۰۹) مشخص گردید، اگر غلظت هیدروکلرئید در امولسیون کمتر از میزان مشخصی باشد، هیدروکلرئید نمی‌تواند ذرات فاز پراکنده را کاملاً پوشاند، در نتیجه برخورد و اتصال ذرات فاز پراکنده به یکدیگر افزایش یافته و درنهایت در اثر بزرگ‌تر شدن ذرات چربی احتمال جدای شدن آنها از امولسیون و دو فاز شدن امولسیون افزایش می‌یابد. درحالی که در غلظت‌های بالاتری از هیدروکلرئید، به علت ویسکوزیته بیشتر و پوشانندگی کامل ذرات فاز پراکنده، از جدای شدن چربی از امولسیون جلوگیری به عمل می‌آید. بر طبق بررسی‌های سعیدی و همکاران (۲۰۱۸) در اثر افزایش غلظت صمغ آنگوزه شاخص فعالیت امولسیون از $80 \text{ m}^2/\text{g} \pm 76$ در نمونه پنج درصد محلول صمغ آنگوزه به $10 \text{ m}^2/\text{g} \pm 18.7$ در نمونه ۲۰ درصد محلول صمغ آنگوزه افزایش یافت. به

۴-۳-۳-۴-۵-ظرفیت امولسیونی صمغ مقل فعالیت امولسیونی صمغ مقل در غلظت‌های ۱، ۰.۵، ۰.۱، ۰.۰۵ و ۰.۳٪ صمغ بررسی شد (شکل ۳). نتایج نشان داد که این صمغ توانایی تولید یک امولسیون نسبتاً خوب را دارد. نتایج نشان داد که غلظت تأثیر معنی داری بر فعالیت امولسیونی صمغ مقل دارد به گونه‌ای که با افزایش غلظت صمغ، فعالیت امولسیونی افزایش یافت که به دلیل افزایش ویسکوزیته و همچنین افزایش مقدار پروتئین موجود در ترکیب می‌باشد. با افزایش غلظت صمغ در محلول‌ها میزان جذب آب و ویسکوزیته افزایش یافته که موجب می‌شود تحرک و جابه جایی کمتر ذرات چربی کم و بنابراین احتمال برخورد آنها به همدیگر و ایجاد ناپایداری کاهش یابد و امولسیون پایدارتر باشد [۱۰].

داده شده با صمغ کدورت افزایش یافته و در نتیجه شاخص فعالیت امولسیون بیشتر می‌گردد [۱۹].

ubarati هرچه یک امولسیون از پایداری بیشتری برخوردار باشد، به دلیل کاهش حرکات براونی ذرات روغن پوشش

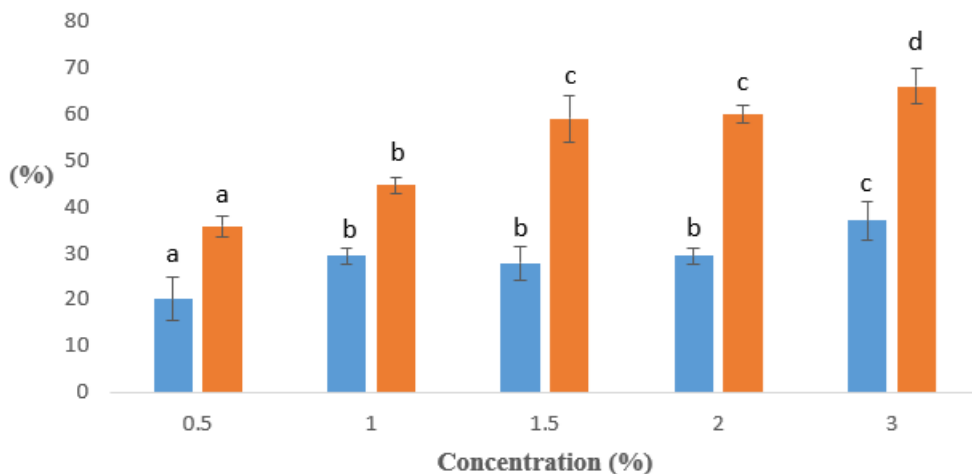


Fig. 3. Emulsion activity and emulsion stability against temperature of *Commiphora wightii* gum
Different letters show significant differences between samples in each test ($p < 0.05$)

نتایج حاصل از بررسی‌های صالحی (۱۳۹۶) در غلظت ۱

درصد صمغ میوه کاکتوس نشان داد این صمغ ۵۵/۸۳ درصد خاصیت امولسیفایری با پایداری حرارتی ۹۲/۱۷ داشت که با افزایش غلظت صمغ میزان پایداری افزایش یافت [۲۹]. بررسی‌های نیک نام (۱۳۹۶) بر روی صمغ دانه بارهنگ نشان داد که با افزایش غلظت این هیدروکلوریک از ۰/۳ به ۱ درصد وزنی - حجمی پایداری امولسیون تهیه شده از این صمغ از ۱۷/۴۶ به ۴۶/۵۹٪ افزایش یافت [۳۰].

واکنش‌های شیمیایی و بیوشیمیایی که طی زمان رخ می‌دهند، ممکن است موجب جداسازی فازی و ناپایداری امولسیون شود. امولسیون تهیه شده از صمغ مقل به مدت ۴ هفته در داخل یخچال با دما ۴ درجه سلسیوس نگهداری شد. نتایج بررسی‌ها در جدول ۳ نشان داده شده است. غلظت‌های مختلف صمغ نیز باعث پایداری امولسیونی متفاوتی طی زمان شده است.

به دلیل اینکه امولسیون‌ها در برابر تغییرات دما به دلیل ناپایداری‌های ترمودینامیکی مقاومت از خود نشان نمی‌دهند و با انجام فرایندهای حرارتی مثل پاستوریزاسیون و استریلیزاسیون و همچنین خشک کردن در زمان تولید، نگهداری و مصرف، خصوصیات عملکردی امولسیون‌ها دچار تغییر می‌گردد، لذا آزمون پایداری حرارتی امولسیون‌ها انجام می‌شود. داده‌های حاصل از این آزمون در شکل ۳ نشان داده شده است. نتایج نشان می‌دهد که غلظت تاثیر معنی‌داری بر پایداری امولسیون در برابر دما داشته است. بررسی‌ها نشان می‌دهد با افزایش غلظت صمغ در تهیه امولسیون، پایداری امولسیون در برابر دما افزایش می‌یابد که به علت افزایش ویسکوزیته و کاهش سرعت ادغام شدن امولسیون می‌باشد. بر اساس قانون استوک، سرعت حرکت قطرات فاز گستته با ویسکوزیته فاز پیوسته رابطه عکس دارد. بنابراین افزایش ویسکوزیته فاز پیوسته امولسیون موجب پایداری آن در برابر جداسازی فاز می‌شود.

Table 3. Emulsion stability of *Commiphora wightii* gum during time

Time (weak)	Concentration (%)				
	0.5	1	1.5	2	3
First	29.55±2.20 ^a	16.55±4.50 ^{cd}	19.77±4.50 ^{bcd}	24.66±2.30 ^{abc}	19.77±4.50 ^{bcd}

Second	26.22 \pm 0.80 ^{ab}	13.33 \pm 0.00 ^d	16.55 \pm 4.50 ^{cd}	24.66 \pm 2.30 ^{abc}	19.77 \pm 4.50 ^{bcd}
Third	26.22 \pm 0.80 ^{ab}	13.33 \pm 0.00 ^d	16.55 \pm 4.50 ^{cd}	24.66 \pm 2.30 ^{abc}	19.77 \pm 4.50 ^{bcd}
Fourth	26.22 \pm 0.80 ^{ab}	13.33 \pm 0.00 ^d	16.55 \pm 4.50 ^{cd}	24.66 \pm 2.30 ^{abc}	19.77 \pm 4.50 ^{bcd}

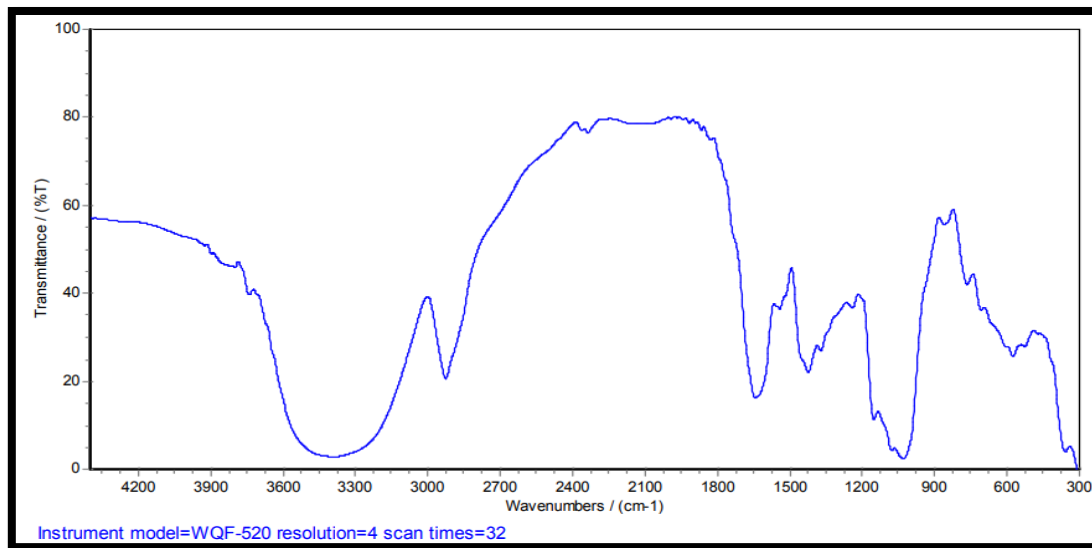
Different letters show significant differences between all samples ($p < 0.05$)

می شود و شاخص خوبی از تفاوت در ساختار صمغ های مختلف است. طیف جذب مادون قرمز صمغ مقل در شکل FTIR نشان داده شده است. نتایج به دست آمده از ارزیابی نمونه صمغ بیانگر وجود نوار بارز در محدوده عدد موجی $3300-3500\text{ cm}^{-1}$ است که وجود گروه های هیدروکسیل (OH^-) متعدد در نمونه موجب برقراری نوار تند با قاعده بزرگ در این عدد موج می شود. وجود گروه های هیدروکسیل عمدها موید حضور گلوکورونیک اسید، گالاكتورونیک اسید، اسیدهای کربوکسیلیک، الكل قندها و گروه های گلایکوزیدی در پروفایل ترکیبات موجود در نمونه است. نوارهای جذبی در این محدوده ممکن است به OH^- موجود در آب، گروه های آمینواسیدی، ارتعاشات کششی گروه های هیدروکسیل که پیوند هیدروژنی درون مولکولی در الكل پلی ساکاریدها یافت می شود و نیز به پیوندهای $\text{H}-\text{N}$ در پروتئین ها مربوط باشد [۳۲]. دو نوار دیگر ایجاد شده در عدد موج حدود 1700 cm^{-1} مشاهده شده که این موارد بیانگر پیوند دوگانه میان کربن-اکسیژن یا همان گروه عاملی کتونی ($\text{C}=\text{O}$) و همچنین پیوند ساده کربن-هیدروژن ($\text{C}-\text{H}$) است. حضور پروتئین در نمونه نیز می تواند باعث جذب در نوار این ناحیه شود که به دلیل پیوندهای آمیدی $\text{H}-\text{N}$ و همچنین ارتعاش خمثی پیوند OH^- ایجاد می شود. سایر نوار های ظاهر شده نیز عمدها در اعداد موج پایین تر از 1100 cm^{-1} مشاهده شده که به دلیل گروه های هیدروکربنی موجود در نمونه صمغ است. همچنین یک نوار در عدد موج محدوده 2800 cm^{-1} مشاهده شد که می تواند در ارتباط با پیوندهای ساده کربن-هیدروژن و یا گروه های آمینی ($\text{N}-\text{H}$) باشد. به عنوان مثال ترکیباتی همانند کیتوزان، کیتین و برخی دیگر از پلی ساکاریدها و هیدروکلوریدها همانند کاراگینان و حتی پکتین در این محدوده این نوار را نشان می دهند [۲].

نتایج حاصل از یک ماه نگهداری نمونه های امولسیون در یخچال، ناپایداری زیادی را نشان نداد. ناپایداری مشاهده شده به صورت کریمینگ نبود و روغن اندازی در سطح مشاهده نگردید. اما مقداری آب در انتهای ظرف جمع شد. در غلظت های $0/5$ ، $1/5$ از هفتھی دوم حجم امولسیون کاهش یافت و بعد از آن ثابت ماند. در غلظت 2 و 3 درصد میزان پایداری از هفته اول تا آخر ثابت ماند. در غلظت 2 درصد بیشترین میزان پایداری امولسیون در طی زمان مشاهده شد که غلظت مناسب برای تهیه یک امولسیون خوب از این صمغ می باشد. کاهش در مقدار پایداری امولسیون با گذشت زمان ممکن است به دلیل تماس بیشتر بین قطرات و در نتیجه تجمع (لخته شدن) و به هم پیوستن قطرات روغن به عنوان فاز پراکنده باشد. لذا می توان به ارتباط بین ویسکوزیته و پایداری به جدا شدن فاز چربی پی برد. در نمونه های با غلظت و ویسکوزیته بیشتر، به علت کاهش جایه جایی ذرات و کم شدن حرکت آن ها به سطح از میزان جدا شدن چربی کاسته شد و پایداری به جدا شدن فاز چربی در آنها افزایش یافت. در تحقیقات انجام شده توسط جعفری و همکاران (۲۰۰۸) تأثیر افزودن صمغ های انگکوم و عربی بر پایداری امولسیون بررسی شد. نتایج حاصل نشان داد که استفاده از صمغ انگکوم با غلظت 3% وزنی - حجمی، امولسیون پایداری را ایجاد کرد که تقریباً هیچ جدا شدن فازی در آن مشاهده نگردید. اما استفاده از صمغ عربی حتی در غلظت های بالای ۵٪ نتیجه قابل قبولی ایجاد نکرد [۳۱].

۳-۵-۳-بررسی خصوصیات ساختاری صمغ مقل

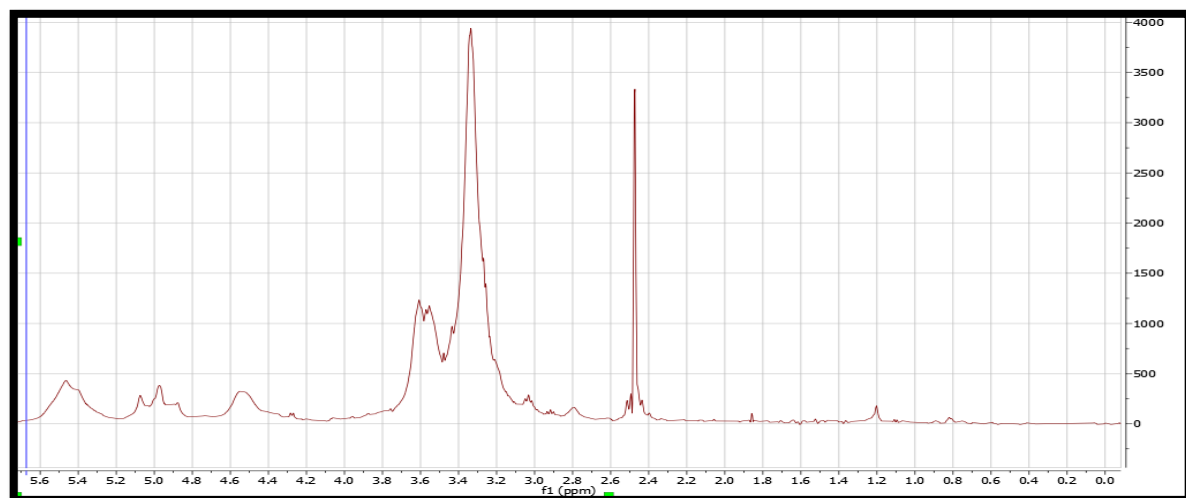
۳-۵-۱-طیف سنج مادون قرمز تبدیل فوریه طیف سنجی مادون قرمز جهت تشخیص و تعیین گروه های عاملی ترکیبات است. فاصله ای بین عدد موج 950 cm^{-1} به عنوان ناحیه اثر انگشت کربوهیدرات ها شناخته

Fig. 4. FTIR spectra of *Commiphora wightii* gum

بنابراین، استفاده از NMR تک بعدی پروتون به تنها یعنی برای حل مسئله ساختاری یک پلی ساکارید یا الیگوساکارید پیچیده، مشکل خواهد بود. در طیف کربن-¹³ سیگنال‌ها از کربن‌های آنومری در محدوده ۸۵ تا ۹۰ ppm ظاهر می‌شود و کربن‌های غیر آنومری بین ۶۰ الی ۸۵ ppm قرار دارند. طیف H-NMR صمغ مقل در شکل ۵ نشان داده شده است.

۴-۵-۳- طیف سنج رزونانس مغناطیس هسته ای

سیگنال‌های حاصل از H-NMR به علت فراوانی بیشتر، حساسیت بیشتری نسبت به سیگنال‌های کربن-¹³ دارند. به عبارت دقیق‌تر از H-NMR می‌توان برای کمی‌سازی در بعضی کاربردها استفاده نمود. اگر چه بیشتر سیگنال‌های پروتون بین یک محدوده جایه‌جایی شیمیایی ۲ ppm وجود دارند، که موجب آمیختگی قابل توجه سیگنال‌ها می‌شود.

Fig. 5. H-NMR spectra of *Commiphora wightii* gum

پایین تر از ۲ ppm، بین ۳-۵ ppm قرار دارد. پروتون‌های آنومری مونوساکارید، بسته به اینکه آلفا یا بتا باشند، سیگنال‌های خاصی ایجاد می‌کنند. با توجه به نتایج به دست آمده در ارزیابی H-NMR پیک ظاهر شده در محدوده ۳-

۵- ppm به NMR در طیف سیگنال‌های کربوهیدرات‌ها در خصوص H-NMR معمولاً در یک محدوده نازک به صورت متتمرکز قرار دارند که این محدوده در طیف H-NMR در

NMR نیز نشان می‌دهد پیک حاصل در محدوده ۱۰۰-۱۰۹ ppm بیانگر اتصال C-2-C-5 انتهای مانوز و یا رامنوز است. سیگنال‌های آنومری در محدوده ۱۰۱-۱۰۳ ppm حضور قندهای پیرانوزی و رزونانس در محدوده ۱۰۹/۸-۱۰۹/۱ ppm حضور قندهای به شکل فورانوزی را تایید می‌کند. همچنین دو سیگنال عمده رزونانس کربن در محدوده ۸۰-۹۰ ppm و محدوده ۷۰-۷۰ ppm مشاهده شد که به ترتیب مرتبط با کربن شماره یک بتا-دی-گالاكتوز و کربن آنومریک دی گالاكتوز و یا گالاكتوز پیروات و گالاكتوز سولفات است. همچنین پیک محدوده ۷۰ ppm می‌تواند مرتبط با کربن شماره ۵ رامنوتیرانوزیل باشد [۲۳].

۳/۵-۵/۵ ppm بیانگر انتهای آلفا - ال - رامنوتیرانوزیل و یا پروتون آنومریک ظاهر شده مربوط به گلوکز یا گالاكتوز است. پیک ظاهر شده در محدوده ۴/۴-۴/۸ ppm عمدۀ مربوط به سیگنال ظاهر شده توسط انتهای H-2-H-5 ppm به رامنوز است. پیک ظاهر شده در محدوده ۳/۵ ppm متیل پروتون‌های متصل به کربن شماره ۶ بتا-دی-گالاكتوز مربوط می‌شود. پروتون‌های کربن شماره ۴ نیز در محدوده ۳/۹-۴/۳ ppm ظاهر می‌شود. همچنین پیک ظاهر شده در محدوده ۱/۵ ppm به پروتون‌های متیلیک و پیروات سیکلیک ارتباط دارد [۲۰].

طیف C-NMR صمع مقل در شکل ۶ نشان داده شده است. در طیف سیگنال‌های کربن کربوهیدرات‌ها، سیگنال‌های کربن آنومری در ۹۰-۱۱۰ ppm ظاهر می‌شوند و کربن‌های غیرآنومری بین ۶۰-۸۵ ppm ظاهر می‌شوند. نتایج -

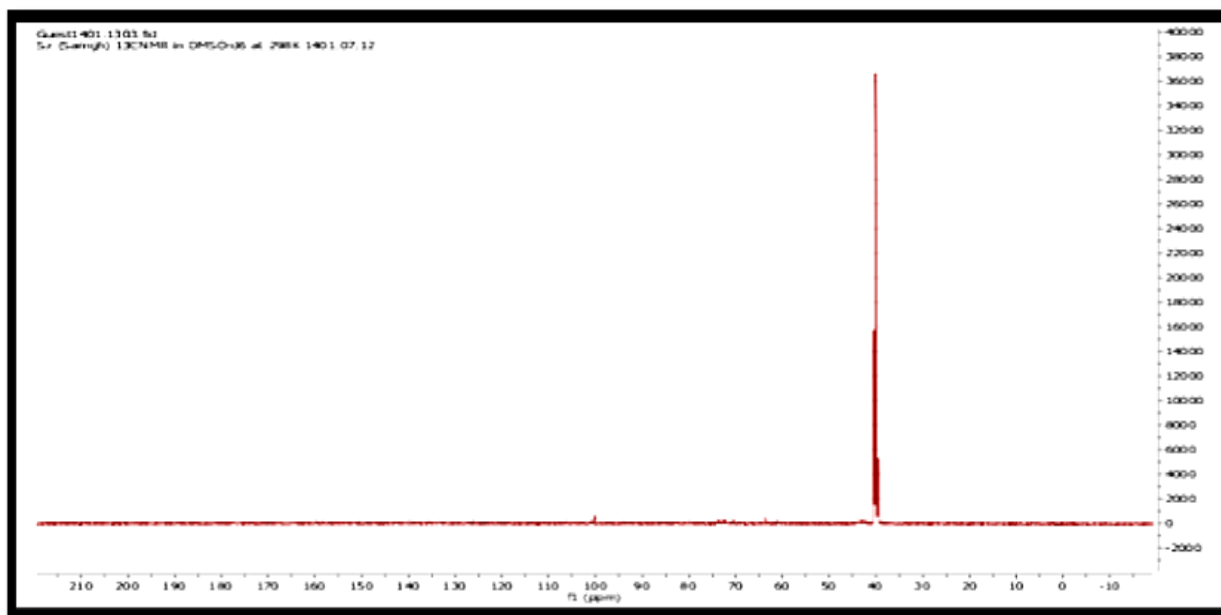


Fig. 6. C-NMR spectra of *Commiphora wightii* gum

بیانگر وجود گلوکز به عنوان یک همگروز با حداقل مقدار است و پس از آن نیز مانوز و رامنوز قرار دارند. وجود گلوکورونیک اسید و گالاكتورونیک اسید نیز موجب تقویت پیوندهای الکتروکوالانسی در خارج از زنجیره ی پلی ساکاریدی به دلیل حضور گروه‌های کربوکسیل، هیدروکسیل و تمایل آن به ایجاد پیوند با یون‌های با بار

۳-۵-۳- مونوساکاریدهای صمع مقل نتایج آنالیز قند‌های صمع مقل تعیین شده توسط دستگاه HPLC، در شکل ۷ نشان داده شده است. به طور کلی این صمع شامل مونوساکارید‌های مانوز، رامنوز، گلوکورونیک اسید، گالاكتورونیک اسید، فروکتوز، گلوکز، زایلوز و آرابینوز می‌باشد. ارزیابی پروفایل مونوساکاریدی در نمونه صمع

مشیت می شود که این امر شناسایی این صمغ را تسهیل می کند.

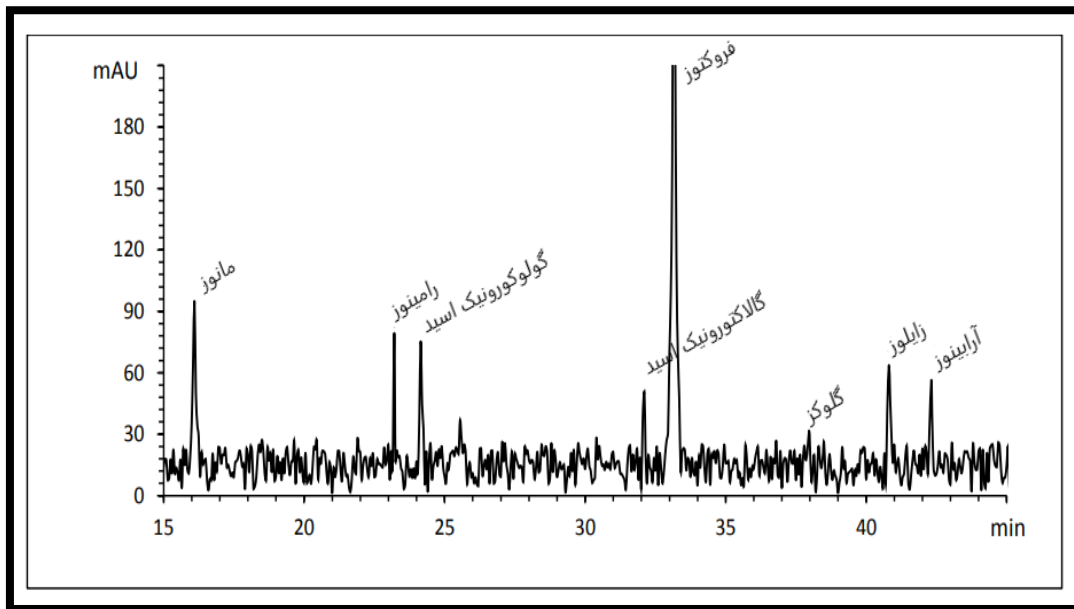


Fig. 7. HPLC analysis of *Commiphora wightii* gum

گلوکز به مانوز افزایش یابد، میزان حلالیت و جذب آب صمغ افزایش می یابد [۱].

۴-نتیجه گیری

در این مطالعه خصوصیات فیزیکوشیمیایی، عملکردی و ساختاری صمغ مقل مورد بررسی قرار گرفت. به صورت کلی با بررسی های انجام شده می توان گفت که صمغ مقل پلیمری منشعب و با حلالیت متوسط از دسته آرایینوگالاکتان ها می باشد که به علت حضور گالاکتورونیک اسید در ساختارش به عنوان یک هیدروکلولئید آنیونی در نظر گرفته می شود. حضور گروه های متیل و پروتئین زیاد در صمغ مقل خاصیت هیدروفوبیسیتی به صمغ داده که خاصیت امولسیفایری خوبی را برای این صمغ به همراه دارد و در نتیجه می تواند به عنوان یک امولسیفایر در صنعت غذا مورد استفاده قرار گیرد.

تحقیقات نیک نام (۱۳۹۶) بر روی صمغ موسیلاژ بارهنگ نتایج نشان داد که ۸ نوع مونوساکارید در این صمغ وجود دارد که شامل گلوکز (۶/۷۶٪)، فروکتوز (۱/۹۲٪)، زایلوز، (۰/۴۶٪)، رامنوز (۰/۲۱٪)، گالاکتوز (۰/۲۴۶٪)، آرابینوز (۰/۵۲٪) و گلوکورونیک اسید (۰/۳٪) بودند. در نتیجه، بیشترین مونوساکارید موجود در این صمغ آرابینوز و سپس رامنوز می باشد [۳۰]. صلاحی قراغیلی (۱۳۹۹) آنالیز ترکیبات قندی (منوساکاریدها) صمغ ریشه سریش را بررسی کرد. نتایج ایشان نشان داد که گلوکز و مانوز به ترتیب با ۵۰ و ۴۵ درصد، عملدهترین قندهای تشکیل دهنده ای ساختار پلیساکاریدی صمغ ریشه سریش می باشند. نتیجه ای که به خوبی بیان می کند که صمغ ریشه سریش از خانواده گلکومانان ها می باشد. نسبت گلوکز به مانوز در این صمغ ۱/۱ است. این نسبت در صمغ دانه ریحان ۳/۳ به ۱ می باشد به عبارتی هرچقدر این نسبت بزرگر باشد یعنی میزان

۵-منابع

- [1] Salahi M., Razavi, S. M. A. and Amiri, M. S. 2021. Optimization of hydrocolloid extraction from serish root (*eremurus luteus*) using

response surface method and examining physicochemical characterization of the optimized sample. Iran. J. Food. Sci. Technol.

112(18):153-168.

- [2] Hesarinejad, M. A., Koocheki, A. and Razavi, S. M. A. 2014. Dynamic rheological properties of *Lepidium perfoliatum* seed gum: Effect of concentration, temperature and heating/cooling rate. *Food Hydrocoll.* 35: 583-589.
- [3] Saini, L. S., Rajput, S. K., Rathore, T. R. and Tomar, U. K. 2018. Non-destructive harvesting of oleo-gum resin in *Commiphora wightii* (Arnott) Bhandari—a critically endangered plant. *Ind Crops Prod.* 113: 259-265.
- [4] Bhatia, A., Bharti, S. K., Tripathi, T., Mishra, A., Sidhu, O. P., Roy, R. and Nautiyal, C. S. 2015. Metabolic profiling of *Commiphora wightii* (guggul) reveals a potential source for pharmaceuticals and nutraceuticals. *Phytochemistry.* 110: 29-36.
- [5] Simas-Tosin, F., Barraza, R., Petkowicz, C., Silveira, J., Sasaki, G., Santos, E., Gorin, P. and Iacomini, M. 2010. Rheological and structural characteristics of peach tree gum exudate. *Food Hydrocoll.* 24: 486-493.
- [6] Vani, P., Sreekanth, D., Manjula, P., Keerthi, B., Kistamma, S., Mohan, B., Reddy, A. N. and Mohan, C. 2016. Phytochemical investigation, antibacterial activity and antioxidant activity of the endangered tree *Commiphora wightii* (Arn.) Bhandari. *J. Pharmacogn. Phytochem.* 5: 21.
- [7] Chaudhari, B. and Annapure, U. 2021. Rheological, Physicochemical, and Spectroscopic characterizations of *Limonia acidissima* L. gum exudate with an application in extrusion processing. *Carbohydr. Polym. Technol. Appl.* 2: 100020.
- [8]. López-Franco, Y., Cervantes-Montaño, C., Martínez-Robinson, K., Lizardi-Mendoza, J. and Robles-Ozuna, L. 2013. Physicochemical characterization and functional properties of galactomannans from mesquite seeds (*Prosopis* spp.). *Food Hydrocoll.* 30: 656-660.
- [9] Hesarinejad, M. A., Razavi, S. M. and Koocheki, A. 2015. *Alyssum homolocarpum* seed gum: Dilute solution and some physicochemical properties. *Int. J. Biol. Macromol.* 81: 418-426.
- [10] Chaudhari, B. B. and Annapure, U. S. 2020. Physicochemical and rheological characterization of *pithecellobium dulce* (Roxb.) benth gum exudate as a potential wall material for the encapsulation of rosemary oil. *Carbohydr. Polym. Technol. Appl.* 1: 100005.
- [11] Vieira, J., Mantovani, R., Raposo, M., Coimbra, M., Vicente, A. and Cunha, R. 2019. Effect of extraction temperature on rheological behavior and antioxidant capacity of flaxseed gum. *Carbohydr. Polym.* 213: 217-227.
- [12] Arlington, V. 1980. *Official methods of analysis of the association of official analytical chemists*. AOAC Inc.: Washington, DC, USA.
- [13] Betancur-Ancona, D., López-Luna, J. and Chel-Guerrero, L. 2003. Comparison of the chemical composition and functional properties of *Phaseolus lunatus* prime and tailing starches. *Food Chem.* 82: 217-225.
- [14] Singh, U. 2001. Functional properties of grain legume flours. *J. Food Sci. Technol. (Mysore)*. 38: 191-199.
- [15] Thanatcha, R. and Pranee, A. 2011. Extraction and characterization of mucilage in *Ziziphus mauritiana* Lam. *Inte. Food Res. J.* 18: 201-212.
- [16] Golkar, A. 2013. Investigating the emulsifying properties of beta-lactoglobulin-Persian gum covalent and non-covalent complexes. M.Sc Thesis, Faculty of Agriculture, Isfahan University of Technology. (In Persian).
- [17] Busch, V. M., Kolender, A. A., Santagapita, P. R. and Buera, M. P. 2015. *Vinal gum*, a galactomannan from *Prosopis ruscifolia* seeds: Physicochemical characterization. *Food Hydrocoll.* 51: 495-502.
- [18] Bashir, M. and Haripriya, S. 2016. Assessment of physical and structural characteristics of almond gum. *Int. J. Biol. Macromole.* 93: 476-482.
- [19] Saeidy, S., Nasirpour, A., Djelveh, G., Ursu, A.-V., Marcati, A., Gardarin, C., Laroche, C., Delattre, C., Pierre, G. and Keramat, J. 2018. Rheological and functional properties of asafoetida gum. *Int. J. Biol. Macromol.* 118: 1168-1173.
- [20] Wang, Q. and Cui, S. W. 2005. Understanding the physical properties of food polysaccharides. *Food carbohydrates: chemistry, physical properties, and applications*. 162-214.
- [21] Harnsilawat, T., Pongsawatmanit, R. and McClements, D. J. 2006. Stabilization of model beverage cloud emulsions using protein-polysaccharide electrostatic complexes formed at the oil-water interface. *J. Agric. food chem.* 54: 5540-5547.
- [22] Golkar, A., Nasirpour, A., Keramat, J. and Desobry, S. 2015. Emulsifying properties of Angum gum (*Amygdalus scoparia* Spach)

- conjugated to β -lactoglobulin through Maillard-type reaction. Int. J. Food Prop. 18: 2042-2055.
- [23] Brummer, Y., Cui, W. and Wang, Q. 2003. Extraction, purification and physicochemical characterization of fenugreek gum. Food hydrocoll. 17: 229-236.
- [24] Cui, S. W. 2005. "Food carbohydrates: chemistry, physical properties, and applications," CRC press.
- [25] Anderson, D. and Weiping, W. 1991. The characterization of gum arabic (*Acacia Senegal*) samples from Uganda. Food Hydrocoll. 5: 297-306.
- [26] Khalesi, H., Alizadeh, M. and Rezazad-Bari, M. 2012. Investigating the physicochemical and functional characteristics of zedu gum exuded from *Amygdalus scoparia Spach* plant in the forest area of Fars province. Iran. Food Sci. Technol. Res. J. 8(3): 317-326.
- [27] Hassanpour Amniah, A., Jooyandeh, H., Nasehi, B. and Hojjati, M. 2018. Investigation on physicochemical and rheological properties of malva leaves gum (*Malva neglecta*). J. Food Technol. Nutr. 15: 19-30.
- [28] Amini-Rastabi, J. 2016. Investigating the effect of drying temperature, heat treatment and the concentration of gum solution entering the dryer on the functional characteristics of Persian gum. M.Sc Thesis, Faculty of Agriculture, Isfahan University of Technology. (In Persian).
- [29] Salehi, A. 2017. Extraction and determination of physicochemical and functional properties of mucilage (carbohydrate) obtained from cactus fruit. M.Sc Thesis, Faculty of Agriculture and Natural Resources, University of Tehran. (In Persian).
- [30] Niknam, R. 2017. Investigating factors affecting the characteristics, physicochemical and properties of films based on castor bean gum. M.Sc Thesis, Faculty of Agriculture, University of Tabriz. (In Persian).
- [31] Jafari, S. M., Assadpoor, E., He, Y. and Bhandari, B. 2008. Re-coalescence of emulsion droplets during high-energy emulsification. Food Hydrocollo. 22: 1191-1202.
- [32] Tadayoni, M., Sheikh-Zeinoddin, M. and Soleimanian-Zad, S. 2015. Isolation of bioactive polysaccharide from acorn and evaluation of its functional properties. Int. J. Biol. Macromol. 72: 179-184.



Scientific Research

Physicochemical and functional properties of *Commiphora wightii* gum-resin polysaccharides

Saeedeh Roostaiy¹, Hajar Shekarchizadeh^{*2}, Milad Fathi²

1-Master of sience, Department of Food Science and Technology, College of Agriculture, Isfahan University of Technology, Isfahan, Iran.

2-Associate Professor, Department of Food Science and Technology, College of Agriculture, Isfahan University of Technology, Isfahan, Iran.

ARTICLE INFO

Article History:

Received:2024/7/26

Accepted:2025/3/12

Keywords:

Emulsion;

Foaming ability;

Solubility;

Functional properties

ABSTRACT

Mukul gum is an oleo-gum-resin secreted after scratching the bark of *Commiphora wightii*. This study aims to investigate the physicochemical and functional properties of mukul gum. The functional and physicochemical properties of the gum, including protein content, total carbohydrates, color, solution viscosity, zeta potential, solubility, water absorption capacity, oil absorption capacity, foaming ability, and emulsifying properties, were evaluated. The chemical structure of the gum was analyzed using infrared spectroscopy (FTIR), high-performance liquid chromatography (HPLC), and one-dimensional nuclear magnetic resonance (NMR) spectroscopy. The protein content of the gum was determined to be 8.15%, while its carbohydrate content was found to be 61.09%. The viscosity analysis of the gum solution indicated a shear-thinning behavior. The extracted gum exhibited a zeta potential of -26 mV. The gum's solubility was investigated at 30, 60, and 90 °C. The WAC value was 3.78 g of water in one gram of gum. The gum's ability to form a foam was 87.03% and the foam stability was calculated to be 65.83%. Likewise, the OAC value for the extracted gum was 2.33 g of oil in one gram of gum. Further analyses confirmed the gum's acceptable emulsifying capacity in concentrations of 0.5, 1, 1.5, 2, and 3%, as well as its relatively high thermal stability. Structural analyses indicated the presence of sugars (e.g., arabinose, rhamnose, fructose, glucuronic acid, and galacturonic acid) in the gum. In addition, FTIR results confirmed the presence of hydroxyl groups and, particularly, the presence of glucuronic acid, galacturonic acid, carboxylic acids, sugar alcohols, and glycosidic groups in the profile of the gum's compounds. Ultimately, HPLC analyses of the monosaccharide profile demonstrated a high content of glucose (as a hexose) and some concentrations of mannose and rhamnose.

DOI: 10.22034/FSCT.22.163.31.

*Corresponding Author E-
shekarchizadeh@iut.ac.ir